



PERÚ

Ministerio
del Ambiente

Servicio Nacional de
Meteorología e Hidrología
del Perú - SENAMHI

SUBDIRECCION DE
PREDICCIÓN CLIMÁTICA



*"Decenio de la Igualdad de Oportunidades para Mujeres y Hombres"
"Año de la Esperanza y el Fortalecimiento de la Democracia"*

INFORME TÉCNICO SENAMHI-ENFEN N°04-2026 ABRIL 2026 Y CONDICIONES ACTUALES DE MAYO 2026

Componente Atmosférica: Monitoreo de Condiciones El Niño y Pronóstico Subestacional RESUMEN

En el Pacífico oriental (región Niño 1+2), el ICEN centrado en marzo de 2026 registró un valor de $+0.96\text{ }^{\circ}\text{C}$ (condición cálida), mientras que el valor mensual de abril alcanzó $+1.27\text{ }^{\circ}\text{C}$ (ERSSTv5), evidenciando una tendencia hacia el incremento sustancial de las anomalías de la TSM en esta región, asociado al arribo de ondas de Kelvin cálidas y debilitamiento de vientos costeros entre abril y mayo, con un desarrollo del evento El Niño costero.

En el Pacífico Central (región Niño 3.4), a nivel diario, persisten las anomalías positivas de TSM, favorecidos por la predominancia de pulsos del oeste, sin embargo, el RONI aún muestra valores negativos. Según el ensemble de modelos del C3S, se prevé un incremento de las anomalías de TSM desde junio hasta octubre, con una extensión del calentamiento hacia el Pacífico central, por lo que según los modelos del C3S, se podría configurar un evento El Niño de tipo canónico.

Durante abril de 2026, la circulación de Walker presentó, en promedio, subsidencia en niveles medios y bajos en región norte del Perú, lo que sumado a la predominancia de patrones convergentes, favoreció déficits de precipitación. Este patrón cambió ligeramente del 01 al 10 de mayo, con una mayor convección en la circulación de Walker que favoreció precipitaciones localizadas principalmente en la sierra norte.

Durante abril y mayo de 2026, el Anticiclón del Pacífico Sur presentó frecuentes episodios de debilitamiento y desplazamiento hacia el oeste respecto de su posición climatológica, favoreciendo el debilitamiento de los vientos costeros, principalmente en la costa central y sur del Perú. Estas condiciones contribuyeron al incremento de las anomalías cálidas de la TSM tanto en el litoral peruano como en la región Niño 1+2, así como al aumento de las temperaturas mínimas costeras. Aunque se registraron algunos periodos de intensificación del APS, la tendencia hacia el calentamiento costero persistió. Para finales de mayo e inicios de junio se prevé la continuidad de vientos debilitados y condiciones cálidas de TSM debido al debilitamiento del gradiente de presión APS-costa por la migración del APS al sur y oeste de su posición climática.

Según los modelos del C3S, A escala mensual, entre junio y octubre de 2026 se esperan anomalías de presión entre neutras y negativas en la región del APS, junto con anomalías de vientos del oeste en el Pacífico ecuatorial, configurando un escenario favorable para el incremento de la TSM y el posible desarrollo de un evento El Niño de tipo canónico.



*"Decenio de la Igualdad de Oportunidades para Mujeres y Hombres"
"Año de la Esperanza y el Fortalecimiento de la Democracia"*

1. TEMPERATURA SUPERFICIAL DEL MAR EN EL PACÍFICO ECUATORIAL Y PERSPECTIVAS

Entre el 11 de abril y el 10 de mayo de 2026, las anomalías de la TSM en la región Niño 1+2, según el producto OSTIA, mostraron una persistencia, con los valores más elevados concentrados frente a la costa norte. Posteriormente, del 11 al 20 de mayo, las anomalías cálidas se incrementaron y extendieron a lo largo de la costa y en la región Niño 1+2, registrándose además el desarrollo de un núcleo de calentamiento hacia la costa central (ver **Figuras 1a, 1b, 1c, 1d y 2**).

Por otro lado, los datos del producto OISSTv2.1¹ evidenciaron un incremento de las anomalías de TSM en la región Niño 1+2 en lo que va de mayo, pasando de +1.6 °C (03 al 09 de mayo 2026) a +1.8 °C (10 – 16 de mayo 2026) y posteriormente a +2.1 °C (17 al 23 de mayo 2026).

Actualmente (24 de mayo), se observa una persistencia de las anomalías de la TSM, por encima del umbral de +1.3°C (cálida moderada) con valores de +2.21 °C en OSTIA y +1.90 °C en OISST. Desde la perspectiva del pronóstico subestacional, el modelo MERCATOR sugiere que hacia inicios de junio las anomalías de TSM en la región Niño 1+2 continuarían incrementándose, pudiendo alcanzar valores de hasta +2.47 °C hacia el 3 de junio (ver **Figura 2**).

Respecto al Pacífico Central (región Niño 3.4), durante abril se registraron anomalías positivas de la TSM, con una persistente tendencia al incremento, de acuerdo con los productos OSTIA y OISST. En lo que va de mayo, se observó una ligera moderación en dicho incremento; sin embargo, las anomalías de TSM en la región Niño 3.4 alcanzaron valores de +1.0 °C en OSTIA y +0.93 °C en OISST al 24 y 23 de mayo, respectivamente. Desde la perspectiva de pronóstico, el modelo MERCATOR proyecta que, hacia el 3 de junio de 2026, las anomalías de TSM en el Pacífico Central podrían alcanzar +1.43 °C, manteniéndose dentro de la categoría Cálida Moderada (ver **Figura 3**).

Finalmente, respecto a las perspectivas de la TSM para el período junio–octubre de 2026, el pronóstico C3S multi-sistema indica una predominancia de condiciones cálidas a lo largo del Pacífico ecuatorial desde junio. Este calentamiento se intensificaría desde julio hasta octubre del 2026 (según los modelos del C3S, pero en otros modelos la proyección es hasta febrero del 2027), con un incremento sostenido de las anomalías de TSM de hasta +1.0 °C y +2.0 °C. De consolidarse este patrón, según los modelos del C3S, podría generarse un evento El Niño canónico (ver **Figura 4**).

¹ OISSTv2.1 data TSM Semanal: <https://www.cpc.ncep.noaa.gov/data/indices/wksst9120.for>

"Decenio de la Igualdad de Oportunidades para Mujeres y Hombres"
"Año de la Esperanza y el Fortalecimiento de la Democracia"

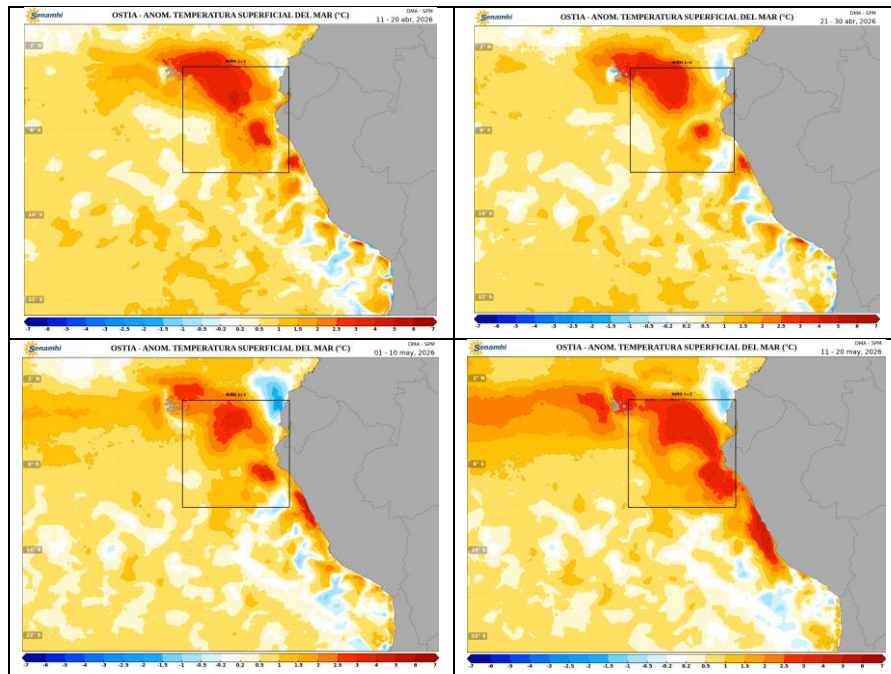


Figura 1. Promedios decadales de la anomalía de la temperatura superficial del mar (TSM) en el Pacífico Oriental del 11 de abril al 20 de mayo de 2026 (1a, 1b, 1c y 1d). Climatología 1981-2010. Fuente satelital: OSTIA. Procesamiento: SPM-SENAMHI.

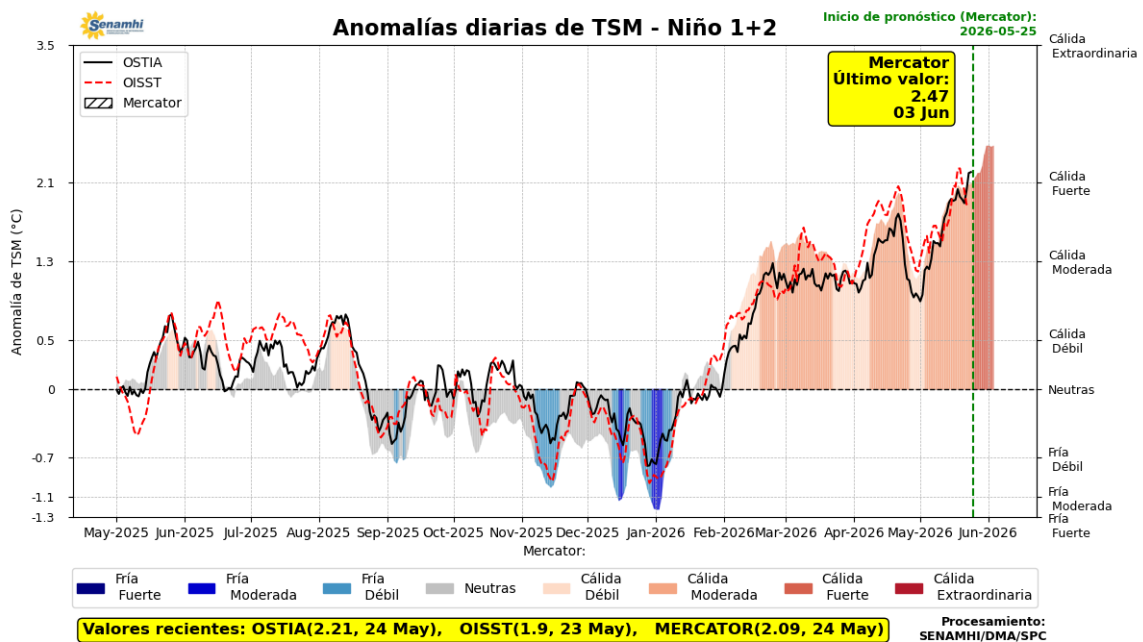


Figura 2. Anomalías diarias de la temperatura superficial del mar (TSM) en la región Niño 1+2 del 01 de mayo 2025 al 24 de mayo de 2026. Pronóstico del 25 de mayo al 03 de junio 2026. Fuente: OSTIA, OISST, MERCATOR. Procesamiento: SPC-SENAMHI.

"Decenio de la Igualdad de Oportunidades para Mujeres y Hombres"
"Año de la Esperanza y el Fortalecimiento de la Democracia"

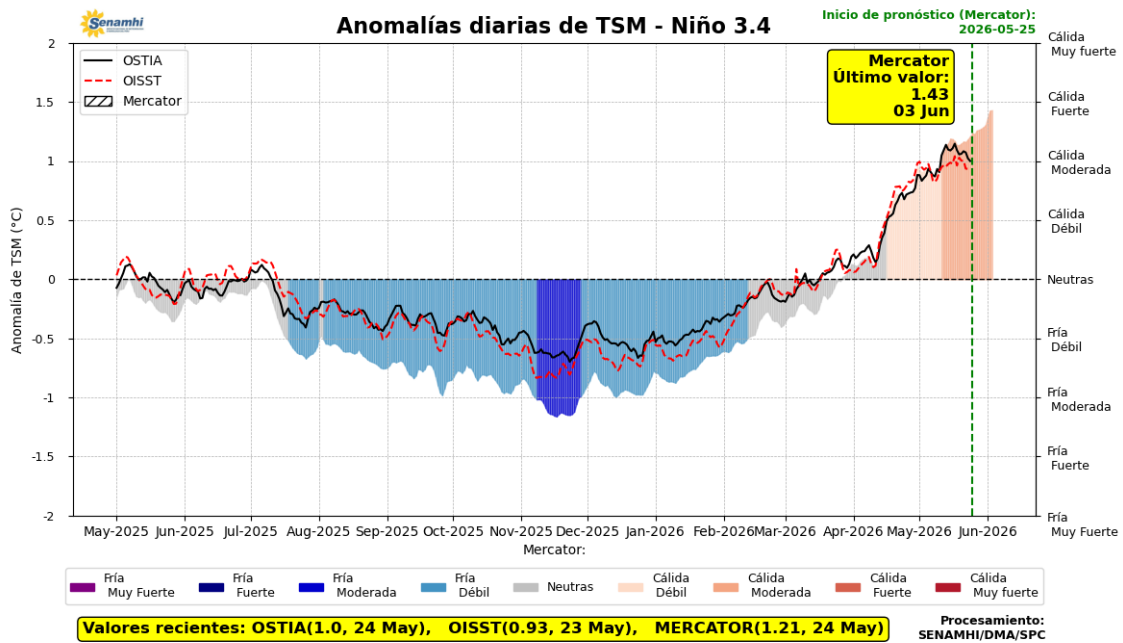


Figura 3. Anomalías diarias de la temperatura superficial del mar (TSM) en la región Niño 3.4 del 01 de mayo 2025 al 24 de mayo de 2026. Pronóstico del 25 de mayo al 03 de junio 2026. Fuente: OSTIA, OISST, MERCATOR. Procesamiento: SPC-SENAMHI.

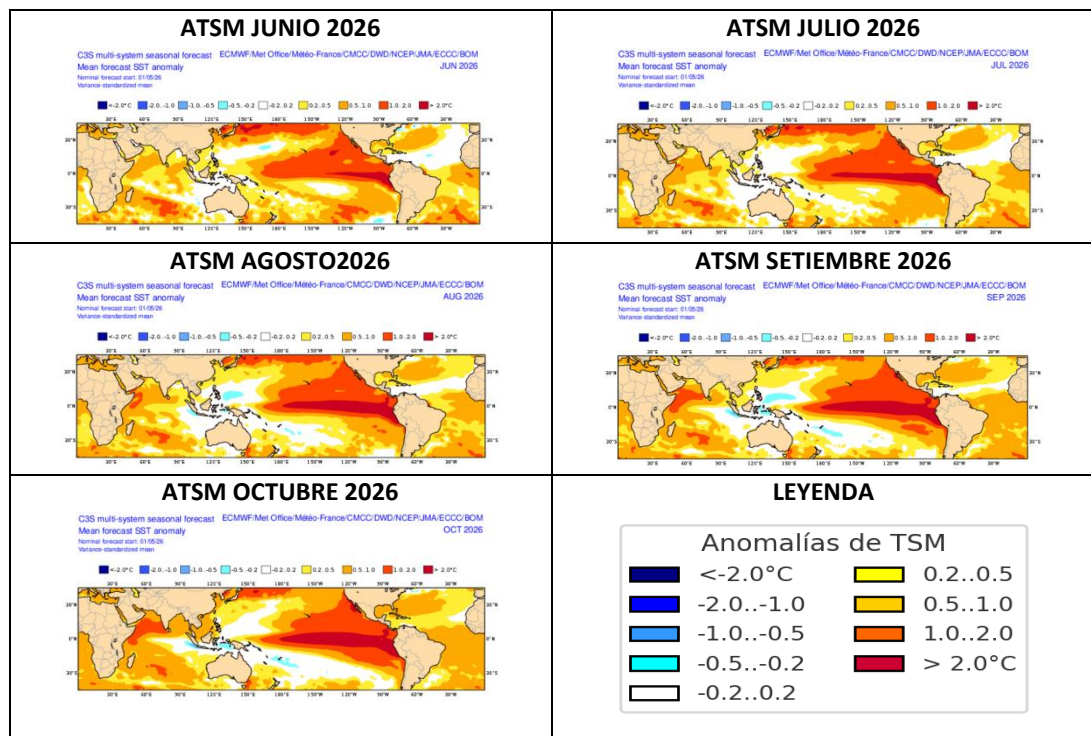


Figura 4. Perspectivas mensuales de anomalías de TSM para el Pacífico ecuatorial del C3S multi-system seasonal forecast. Período: junio – octubre 2026. Modelos: ECMWF/Met Office/Meteo-France/CMCC/DWD/NCEP/JMA/ECCC/BOM. Fuente: Copernicus.



*"Decenio de la Igualdad de Oportunidades para Mujeres y Hombres"
"Año de la Esperanza y el Fortalecimiento de la Democracia"*

2. ÍNDICES ENSO

En abril de 2026, los índices de monitoreo del Pacífico ecuatorial registraron valores negativos. El SOI alcanzó -0.6 y el EQSOI -0.3, evidenciando un cambio hacia valores negativos y una tendencia hacia una respuesta atmosférica más favorable al calentamiento en el Pacífico Central (ver **Figuras 3 y 5**). Por otro lado, el OLR persiste con valores positivos en abril registrando +0.3 y sugiriendo que, en promedio, todavía no se tienen condiciones tan favorables a la convección sobre el Pacífico central, aún con la presencia de anomalías positivas de TSM (ver **Figuras 3 y 5**).

Respecto a las anomalías de TSM en el Pacífico central, el último valor del RONI centrado en marzo alcanzó el valor de -0.5°C^2 (valor temporal), con una condición fría, aunque con una tendencia al incremento de las anomalías de TSM en la región Niño 3.4 —el índice aumentó 0.2°C respecto al ONI de febrero—. Asimismo, la anomalía mensual relativa de abril 2026 según el ERSSTv5² reportó un valor de -0.24°C (sujeto a actualizaciones). A nivel semanal, del 03 al 09 y del 10 al 16 de mayo el producto OISSTv2.1 indicó anomalías de $+0.4^{\circ}\text{C}$ y $+0.5^{\circ}\text{C}$, respectivamente, confirmando un calentamiento y una persistencia en el incremento de anomalías de TSM en la región Niño 3.4.

² RONI: https://www.cpc.ncep.noaa.gov/products/analysis_monitoring/enso/roni/

"Decenio de la Igualdad de Oportunidades para Mujeres y Hombres"
"Año de la Esperanza y el Fortalecimiento de la Democracia"

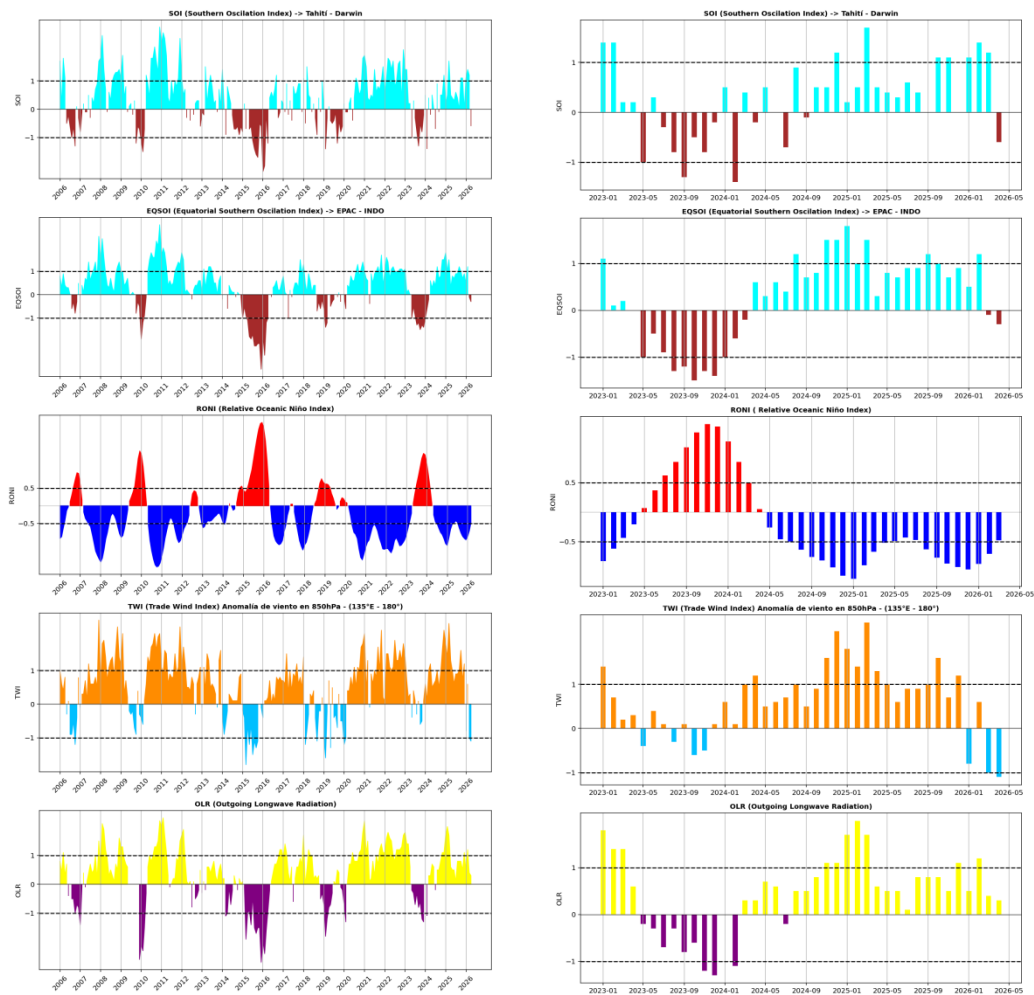


Figura 5. Índices mensuales asociados al ENSO (El Niño Southern Oscillation) desde abril de 2006 hasta abril de 2026 (izq.) y abril del 2023 a abril del 2026 (der.) con media móvil de 3 meses.

Procesamiento: SPC/SENAMHI.

3. CIRCULACIÓN ECUATORIAL

En promedio, durante abril de 2026 se observó predominancia de patrones subsidentes en el rango $80^{\circ}\text{W}-70^{\circ}\text{W}$ y $0^{\circ}-5^{\circ}\text{S}$, asociados a la región norte del Perú, con una extensión vertical desde niveles bajos (850 hPa) hasta niveles medios (400 hPa). Esta configuración limitó el desarrollo vertical de la nubosidad y la ocurrencia de precipitaciones principalmente en la vertiente noroccidental (costa y sierra noroccidental), (ver Figuras 6a y 16a).

Posteriormente, en lo que va de mayo, se tuvieron patrones ligeramente convectivos a lo largo de la región norte del Perú, lo que favoreció superávits de lluvias hacia la selva norte y parte de la sierra norte, entre el 1 al 10 de mayo (ver Figuras 6b, 16b y 16c).

"Decenio de la Igualdad de Oportunidades para Mujeres y Hombres"
"Año de la Esperanza y el Fortalecimiento de la Democracia"

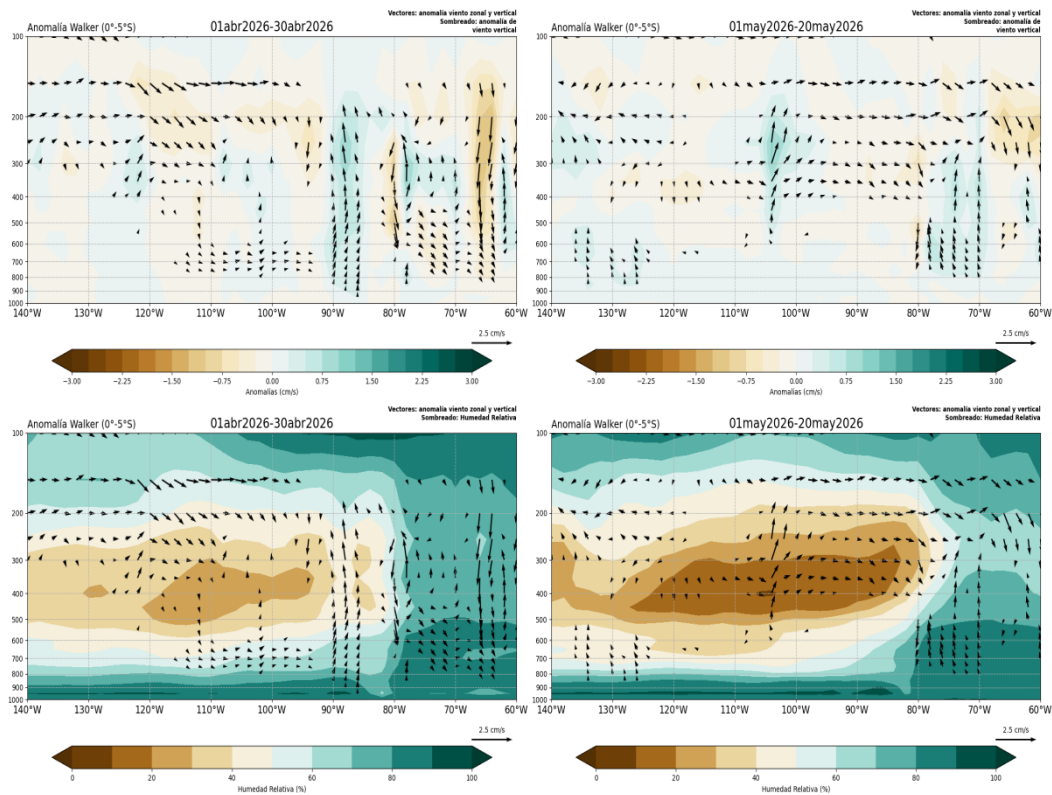


Figura 6. Análisis de la circulación atmosférica (Walker) en el HS ($0^{\circ} - 5^{\circ}\text{S}$) para abril de 2026 (izquierda) y lo que va de mayo (1 al 20 de mayo) del 2026 (derecha) con vientos (vectores), anomalías de velocidad vertical (sombreado imágenes superiores) y humedad relativa (sombreado imágenes inferiores). Fuente: ECMWF. Procesamiento: SPC/SENAMHI.

4. CIRCULACIÓN EN SUPERFICIE

El Anticiclón del Pacífico Sur (APS) presentó durante abril de 2026 episodios de desplazamiento hacia el oeste respecto de su posición climatológica, así como debilitamientos en la intensidad de su núcleo (1 al 5, 11 al 15 y 16 al 20 de abril). Estas configuraciones favorecieron episodios de debilitamiento de los vientos costeros —principalmente en la costa central y sur—, lo que contribuyó al incremento de las anomalías de la TSM a lo largo del litoral y al consiguiente aumento de las temperaturas mínimas en la costa peruana. En contraste, se tuvieron algunos episodios de intensificación del APS (6 al 10, 21 al 25 y 26 al 30 de abril), no obstante, la tendencia hacia el calentamiento en la costa persistió (ver **Figuras 1, 7, 10 y 17a**).

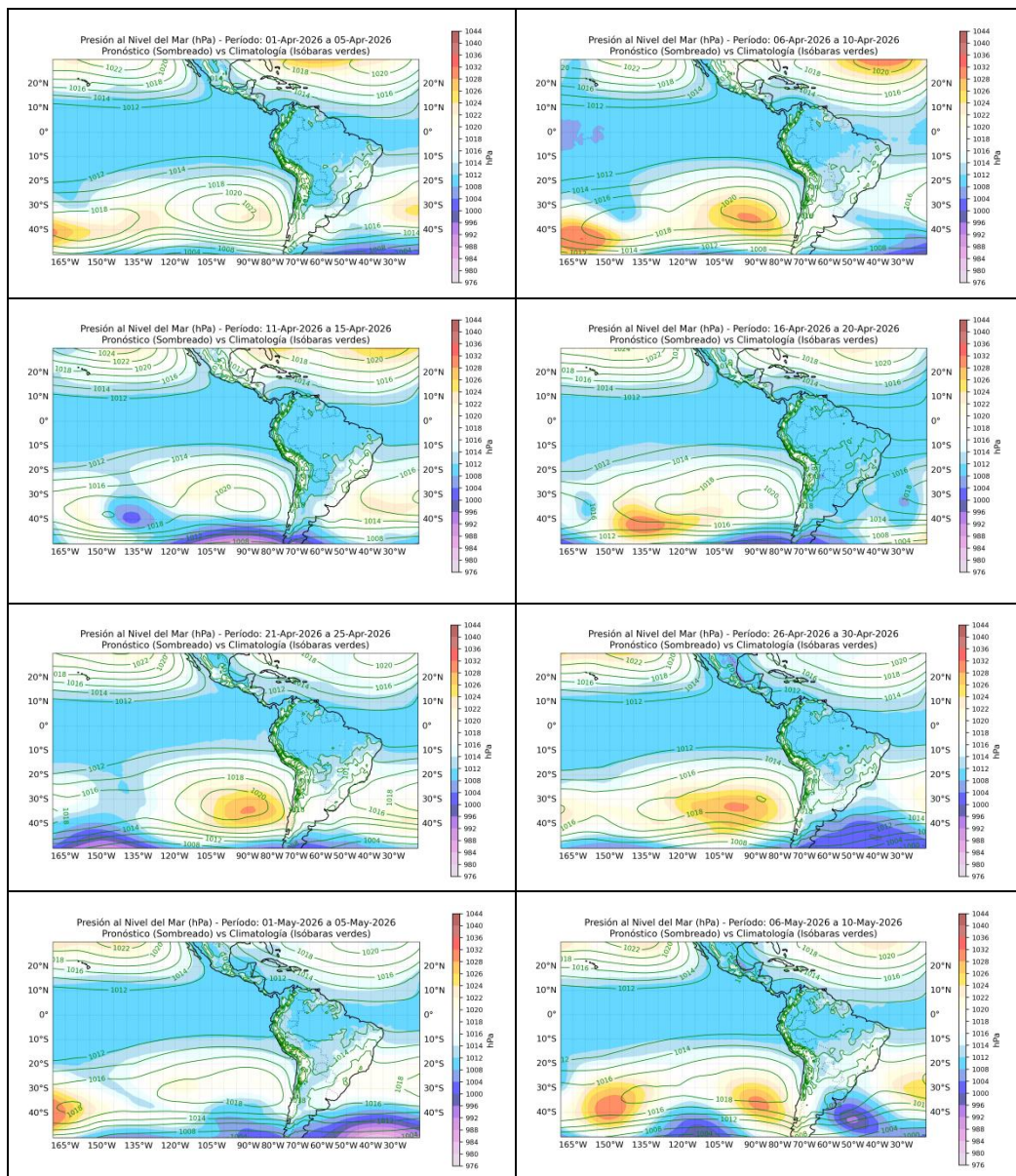
En lo que va de mayo, han predominado episodios de debilitamiento y alejamiento de su posición climática del APS (1 al 5, 11 al 15, 16 al 19 y 22 al 25 de mayo), favoreciendo una persistencia de vientos debilitados y anomalías de TSM cálidas a lo largo de la costa y en la región Niño 1+2 (ver **Figuras 1, 2, 7 y 10**).

De acuerdo con el pronóstico, entre el 25 de mayo y el 9 de junio se prevé episodios de ingreso del APS como alta migratoria a continente y, en general, debilitamiento del gradiente de presión APS - costa, lo que propiciaría la persistencia de vientos debilitados a lo largo de la costa y la persistencia de condiciones cálidas de TSM (también en la región Niño 1+2) en la costa peruana (ver **Figuras 1, 2, 8, 9 y 10**).



"Decenio de la Igualdad de Oportunidades para Mujeres y Hombres"
"Año de la Esperanza y el Fortalecimiento de la Democracia"

En cuanto a las perspectivas mensuales, para los meses de junio a octubre 2026 se prevén anomalías de presión entre negativas y neutras en la ubicación climatológica del APS. Este comportamiento reflejaría una probable reducción del gradiente de presión entre el APS y la costa, favoreciendo el incremento de anomalías de TSM costeras. Asimismo, hay una predominancia de anomalías de vientos del oeste desde el Pacífico occidental hacia el Pacífico central. Estas condiciones evidencian un patrón consistente con el aumento de las anomalías de la TSM y el posible desarrollo de un evento El Niño canónico, tal como se observa en los escenarios mensuales de los ensembles del sistema C3S (ver Figuras 4 y 11).



*"Decenio de la Igualdad de Oportunidades para Mujeres y Hombres"
"Año de la Esperanza y el Fortalecimiento de la Democracia"*

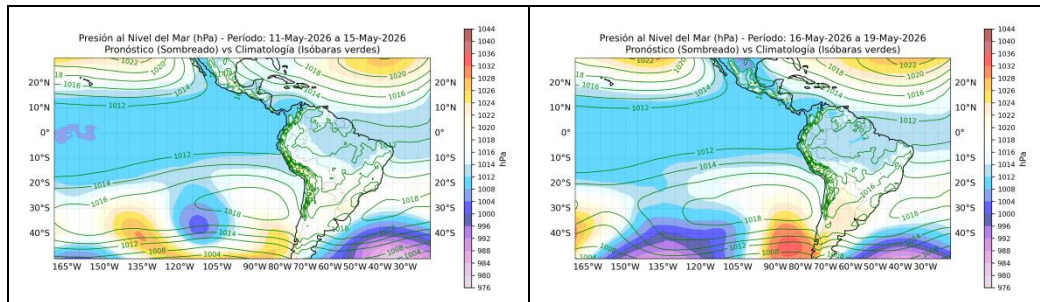


Figura 7. Promedio pentadal de la presión atmosférica reducida a nivel del mar (sobreado) y su climatología (contornos verdes). Período: 01 de abril al 19 de mayo 2026. Fuente: ECMWF. Procesamiento: SPC - SENAMHI.

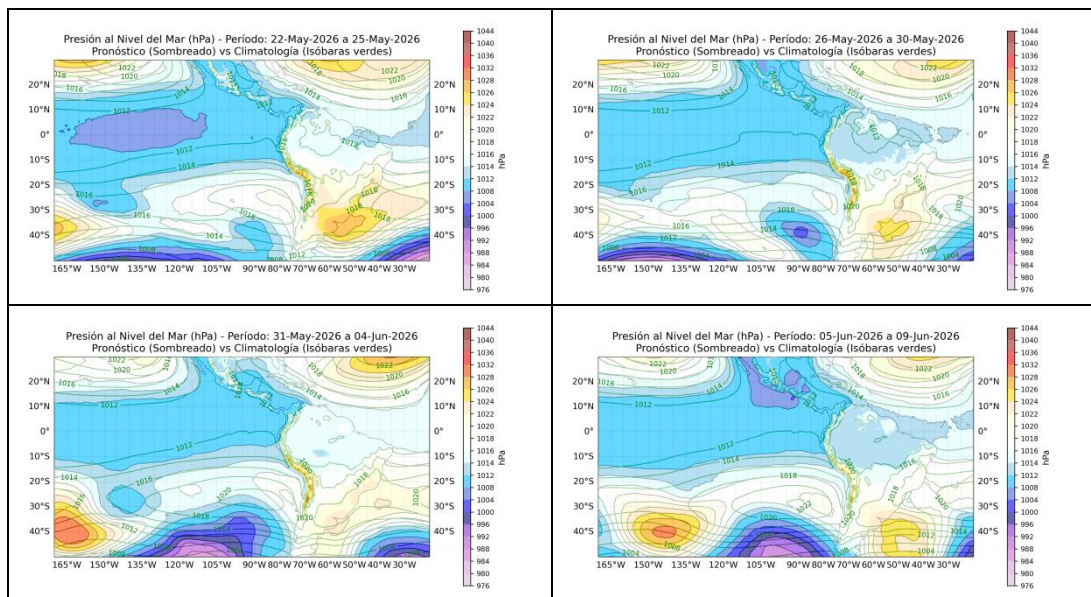


Figura 8. Promedio pentadal de la presión atmosférica reducida a nivel del mar (sobreado) y su climatología (contornos verdes). Observado: 22 al 25 de mayo 2026. Pronóstico: 26 de mayo al 09 de junio 2026. Fuente: ECMWF. Procesamiento: SPC - SENAMHI.

"Decenio de la Igualdad de Oportunidades para Mujeres y Hombres"
"Año de la Esperanza y el Fortalecimiento de la Democracia"

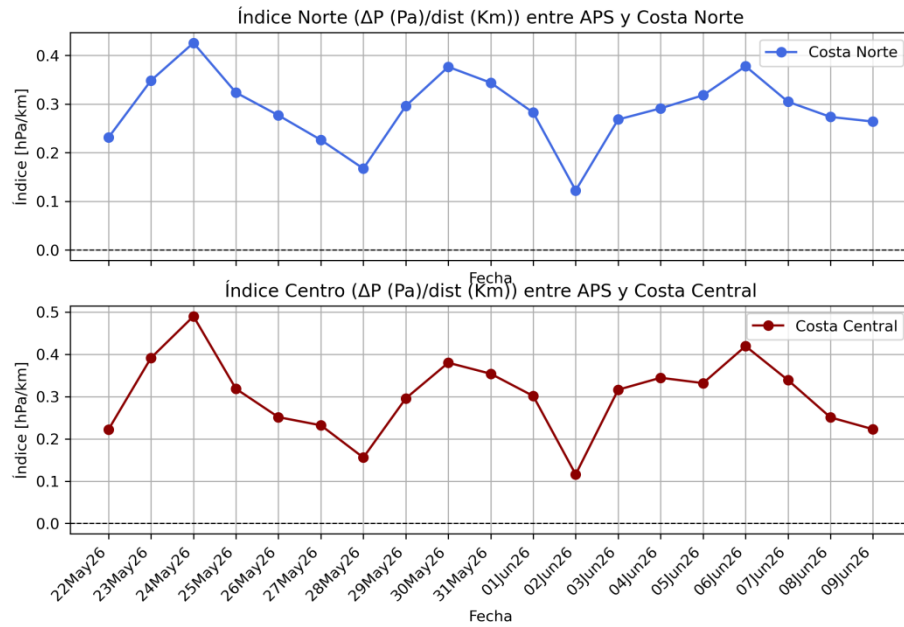


Figura 9. Relación entre el gradiente del núcleo del APS (Pa) y la distancia (km) del APS a la (a) costa norte y (b) costa central. Condiciones actuales: 22 al 25 de mayo 2026. Pronóstico: 26 mayo al 09 junio de 2026. Fuente: ECMWF. Procesamiento: SPC - SENAMHI.

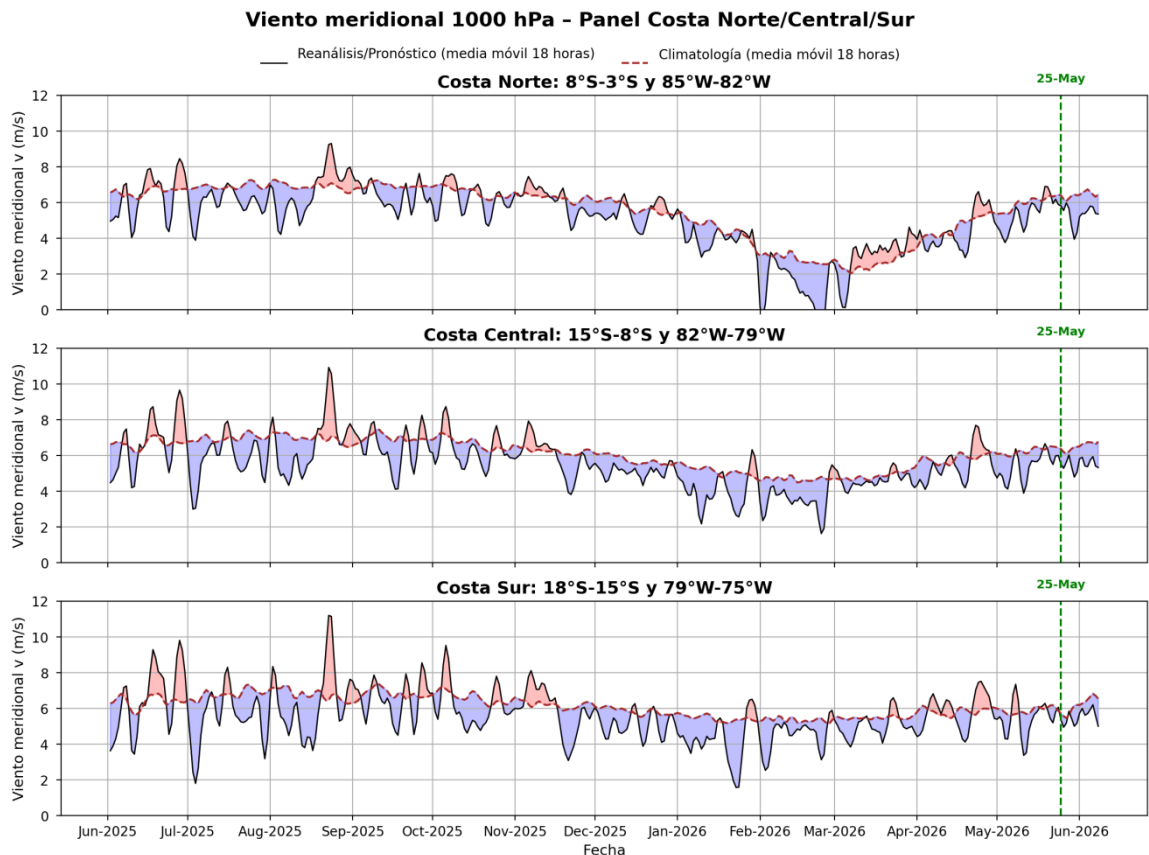


Figura 10. Magnitud de viento meridional a 1000 hPa (línea negra) y climatología (línea roja punteada). Las áreas rojas y azules muestran intensificación y disminución de vientos meridionales respectivamente. Análisis: 01 de junio 2025 al 24 de mayo del 2026. Pronóstico: 25 de mayo al 09 de junio de 2026. Fuente ECMWF: Procesamiento: SPC-SENAMHI.

"Decenio de la Igualdad de Oportunidades para Mujeres y Hombres"
"Año de la Esperanza y el Fortalecimiento de la Democracia"

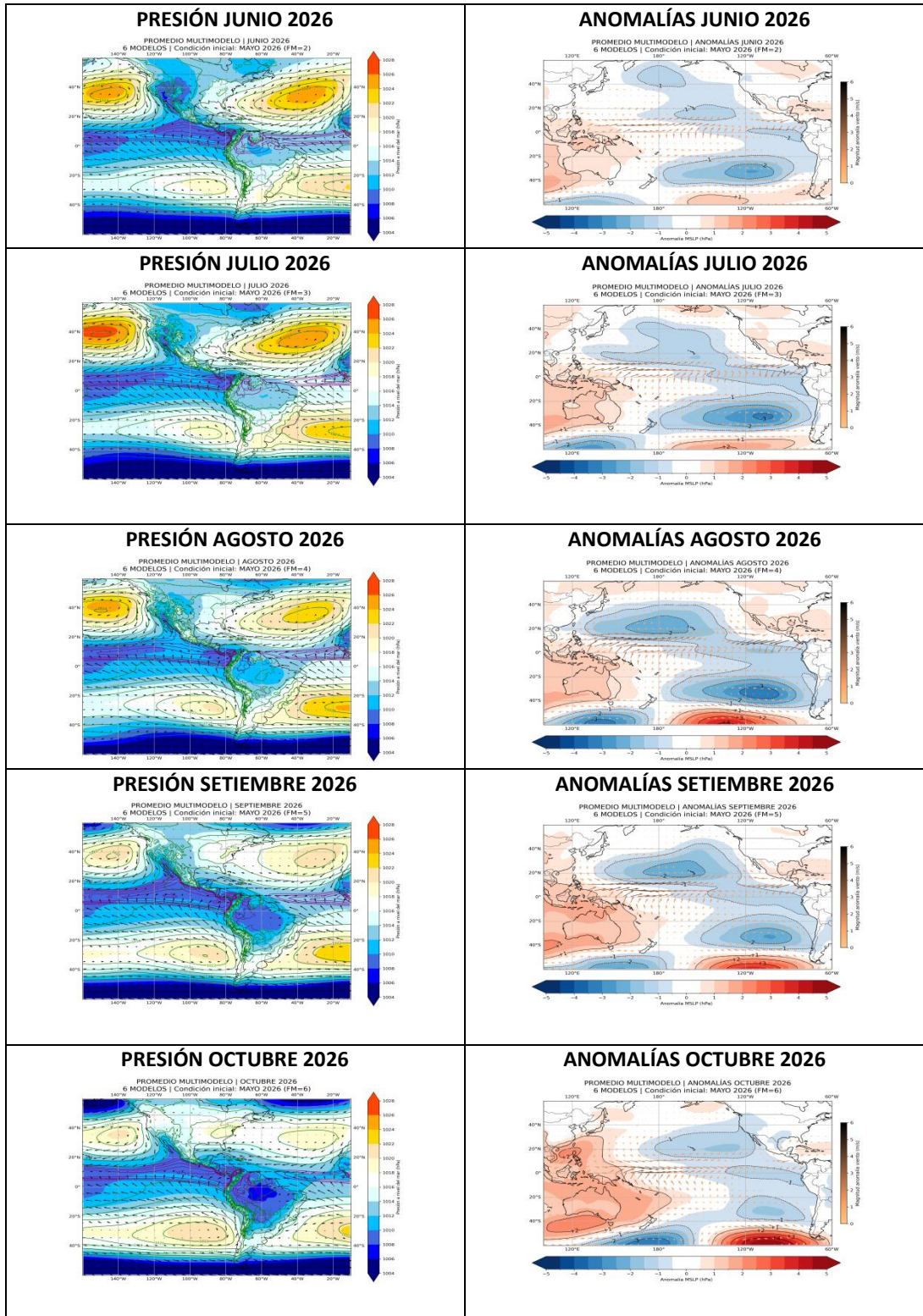


Figura 11. Perspectivas mensuales de la presión a nivel del mar y sus anomalías correspondientes en el Pacífico Oriental. Período: junio – octubre 2026. Fuente ECMWF: Procesamiento: SPC-SENAMHI.



*"Decenio de la Igualdad de Oportunidades para Mujeres y Hombres"
"Año de la Esperanza y el Fortalecimiento de la Democracia"*

5. VARIABILIDAD INTRAESTACIONAL Y PERSPECTIVAS SUBESTACIONALES

Entre mediados y fines de abril de 2026, en la alta tropósfera (200 hPa), sobre la región ecuatorial y la franja tropical se tuvo el arribo de la Oscilación Madden Julián (MJO), abarcando gran parte del Perú (5°N – 5°S , 90°W – 60°W y 5°S – 15°S , 90°W – 60°W). Esta configuración favoreció superávits de lluvias hacia la región central y sur del Perú, sin embargo, hacia la región norte se presentaron patrones subsidentes de la circulación de Walker lo que limitó el desarrollo convectivo principalmente hacia la costa y sierra norte del Perú, donde predominaron déficits de precipitación. (ver **Figuras 6a, 12a, 12b y 17a**).

Posteriormente, a inicios de mayo (1 al 10 de mayo) se tuvo brevemente valores de velocidad potencial divergentes (5°N – 5°S , 90°W – 60°W y 5°S – 15°S , 90°W – 60°W), lo que sumado a la convección de la celda de Walker y a la dinámica atmosférica en general propiciaron lluvias en la región norte y a lo largo de la vertiente oriental del Perú (ver **Figuras 6b, 12a, 12b, 16b y 16c**).

Desde la fecha de pronóstico (24 de mayo), se prevé el arribo de la fase divergente de la MJO, que podría favorecer el debilitamiento de vientos alisios en superficie, favoreciendo el calentamiento en el Pacífico ecuatorial. Asimismo, la predominancia de condiciones divergentes podrían propiciar lluvias localizadas, principalmente en la Amazonía (ver **Figuras 12a y 12b**).

En niveles bajos (850 hPa) y dentro de la franja ecuatorial (5°S – 5°N), durante abril predominaron anomalías de vientos del oeste sobre el Pacífico occidental y parte del Pacífico central (150°E – 150°W). Este patrón contribuyó al calentamiento progresivo de la TSM en la región Niño 3.4, que, a nivel diario presenta anomalías de TSM positivas superando el umbral de $+0.5^{\circ}\text{C}$ (ver **Figuras 3 y 13**).

Posteriormente, en lo que va de mayo, persistieron los pulsos del oeste en el Pacífico occidental, sin embargo, en el Pacífico Central se desarrollaron pulsos del este los cuales favorecieron la disminución de la tasa de incremento de anomalías de TSM en la región Niño 3.4 (ver **Figuras 3 y 13**).

Finalmente, desde la fecha de inicio del pronóstico (24 de mayo), se prevé que los pulsos de vientos del oeste en el Pacífico occidental se intensifique, extendiéndose y abarcando una mayor área del Pacífico central, favoreciendo incrementos en las anomalías de TSM en la región Niño 3.4. En concordancia con los modelos del sistema C3S, este comportamiento sugiere una evolución hacia condiciones de calentamiento en el Pacífico central (ver **Figuras 4 y 13**).

En niveles altos de la tropósfera (200 hPa), durante mediados a fines de abril de 2026, en el dominio 5°N – 5°S y 90°W – 60°W —asociado a la región norte del Perú— se presentaron episodios de vientos del este intensificados, condición que favoreció el desarrollo vertical de nubosidad y lluvias localizadas hacia la Amazonía norte (ver **Figuras 14 y 16a**).

Posteriormente, durante el transcurso de mayo, se presentaron anomalías de vientos

*"Decenio de la Igualdad de Oportunidades para Mujeres y Hombres"
"Año de la Esperanza y el Fortalecimiento de la Democracia"*

del oeste; sin embargo, la convección asociada a la celda de Walker favoreció la ocurrencia de superávits de precipitación, principalmente entre el 1 y el 10 de mayo. En contraste, entre el 11 y el 20 de mayo predominaron patrones más subsidentes que, sumados a la persistencia de anomalías de vientos del oeste, favorecieron déficits de precipitación en la región norte del Perú (ver Figuras 6b, 14, 16b y 16c).

A partir de la fecha de inicio del pronóstico (24 de mayo), se prevé un predominio de anomalías de viento del oeste hasta el 21 de junio, lo cual podría limitar el desarrollo vertical de nubosidad y, en consecuencia, reducir los acumulados de precipitación, principalmente en la selva. Cabe mencionar que hacia junio, se desarrolla la temporada de menores lluvias, por lo cual, se esperaría que a lo largo de la costa y la sierra los acumulados de lluvias no sean significativos (ver Figura 14).

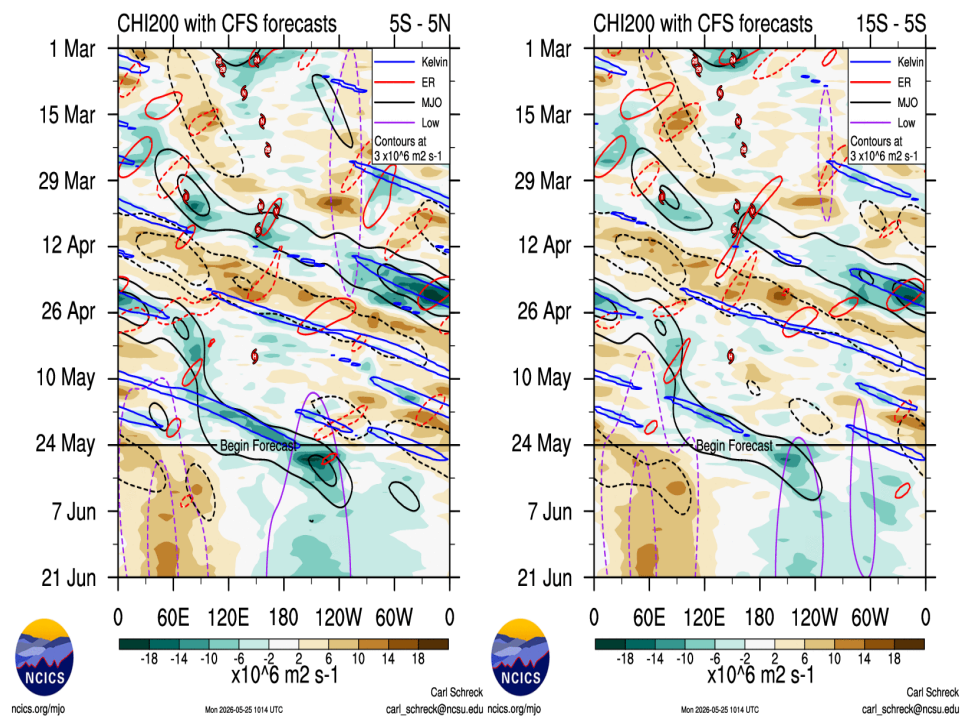


Figura 12. Anomalía de la velocidad potencial en 200 hPa entre los (a) 5°N - 5°S y los (b) 5°S - 15°S a lo largo de la línea ecuatorial. Análisis: 01 marzo al 23 mayo del 2026. Pronóstico: 24 de mayo al 21 de junio 2026. Anomalías positivas (marrón), anomalías negativas (verdes). La línea negra indica la fecha en que inicia el pronóstico de acuerdo al modelo CFS. Fuente: NCICS-NOAA.

"Decenio de la Igualdad de Oportunidades para Mujeres y Hombres"
"Año de la Esperanza y el Fortalecimiento de la Democracia"

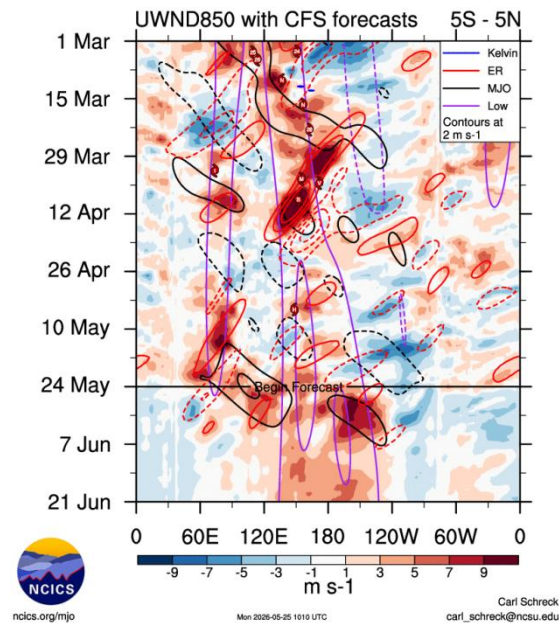


Figura 13. Anomalía del viento zonal en 850 hPa entre los 5°N y 5°S a lo largo de la línea ecuatorial. Análisis: 01 marzo al 23 mayo del 2026. Pronóstico: 24 de mayo al 21 de junio 2026. Anomalías positivas (rojo), anomalías negativas (azul). La línea negra indica la fecha en que inicia el pronóstico de acuerdo al modelo CFS. Fuente: NCICS-NOAA.

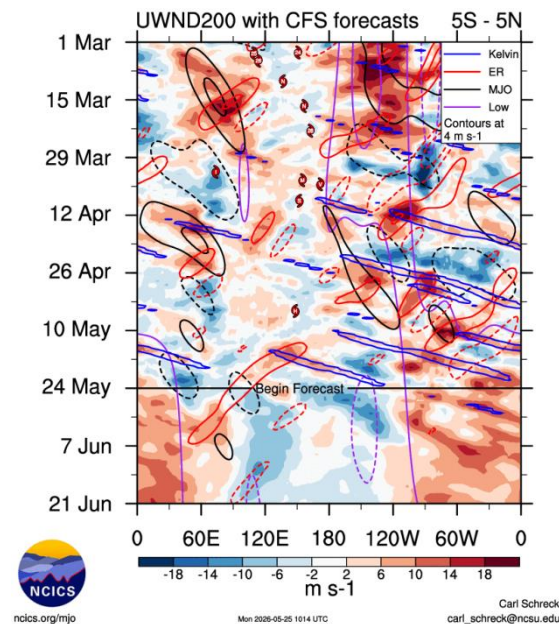


Figura 14. Anomalía del viento zonal en 200 hPa entre los 5°N y 5°S a lo largo de la línea ecuatorial. Análisis: 01 marzo al 23 mayo del 2026. Pronóstico: 24 de mayo al 21 de junio 2026. Anomalías positivas (rojo), anomalías negativas (azul). La línea negra indica la fecha en que inicia el pronóstico de acuerdo al modelo CFS. Fuente: NCICS-NOAA.

6. MONITOREO TERMOPLUVIOMÉTRICO

Durante abril de 2026, se registró un incremento generalizado tanto de las temperaturas máximas como mínimas a lo largo de la costa, en respuesta al

*"Decenio de la Igualdad de Oportunidades para Mujeres y Hombres"
"Año de la Esperanza y el Fortalecimiento de la Democracia"*

calentamiento de la TSM asociado al arribo de ondas de Kelvin cálidas y al debilitamiento de los vientos costeros. Los mayores incrementos de la temperatura máxima se concentraron en las estaciones de Jayanca y Campo de Marte, con anomalías de entre +2.0 y +3 °C, mientras que la temperatura mínima presentó sus mayores anomalías positivas (+1.5 a +2 °C) en las estaciones costeras de Jayanca, Talla y Fonagro. Posteriormente, durante mayo de 2026, las anomalías de temperatura se intensificaron de manera notable, con un marcado aumento hacia la segunda década del mes a lo largo del litoral, con una contribución del debilitamiento del APS y los vientos costeros. Los valores más elevados de anomalías de temperatura del aire se observaron en la costa central y norte, con anomalías de entre +2.5°C hasta +4.5°C (ver **Figuras 1, 2, 10 y 15**).

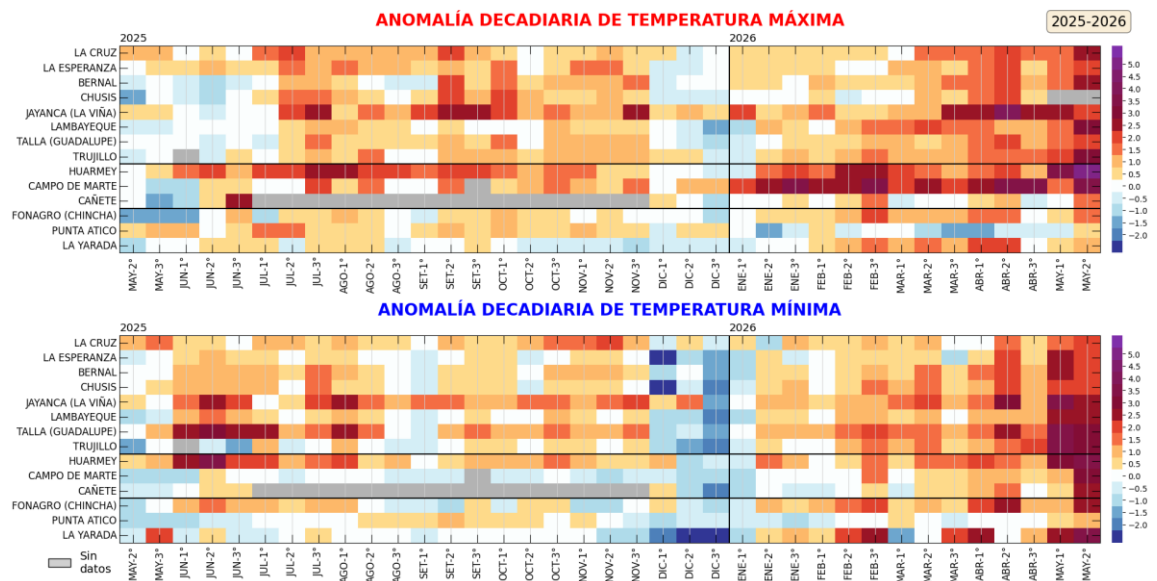


Figura 15. Anomalía de las temperaturas del aire máxima (a) y mínima (b) en las estaciones costeras del SENAMHI de la 2da década de mayo 2025 a la 2da década de mayo 2026. Fuente y procesamiento: SENAMHI.

Durante abril de 2026, predominaron déficits de precipitación principalmente hacia la costa y sierra norte, mientras que hacia la región central y sur predominaron superávits de lluvias en el rango de +30% a +200%, principalmente hacia la vertiente oriental. Los déficits en la costa y sierra norte respondieron a la predominancia de subsidencia en la región (ver **Figuras 6a, 12a, 14a y 16a**). Posteriormente, entre el 1 al 10 de mayo, se configuró un escenario con superávits de precipitación, principalmente en la vertiente oriental, asociados a mayor convección en la celda de Walker, con anomalías de lluvias de hasta +800% en la sierra central y sur oriental (ver **Figuras 16b y 16c**).

En cuanto a las temperaturas mínimas, durante abril predominaron condiciones entre normales y cálidas a lo largo de la costa y la vertiente occidental, directamente asociadas al calentamiento del mar y a la evolución de El Niño costero; mientras que, en el resto de la región se tuvieron temperaturas cercanas a su climatología con ciertas regiones con incrementos de temperaturas localizados.

"Decenio de la Igualdad de Oportunidades para Mujeres y Hombres"
"Año de la Esperanza y el Fortalecimiento de la Democracia"

Durante mayo, se intensificó el incremento de temperaturas en la costa y vertiente occidental asociado a la intensificación de anomalías de TSM frente al litoral costero. Asimismo, los eventos de friajes hacia la selva propiciaron descensos de anomalías de temperaturas mínimas, con valores de entre -1°C a -3°C (ver Figuras 1, 2, 17a, 17b y 17c).

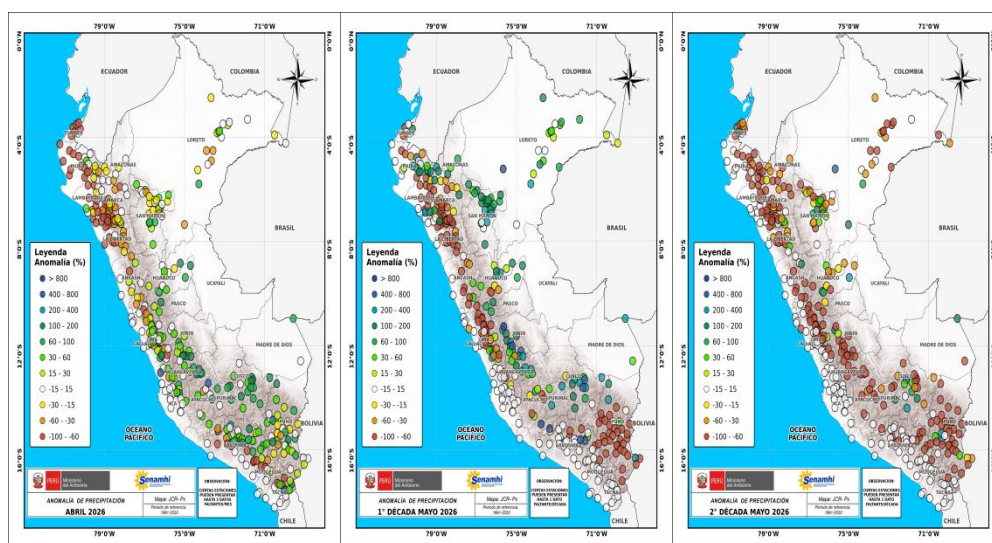


Figura 16. Anomalía de precipitación (%) en abril 2026 (a), del 1 al 10 de mayo 2026 (b) y del 11 al 20 de mayo 2026 (c). Climatología 1991-2020. Fuente y Procesamiento: SENAMHI.

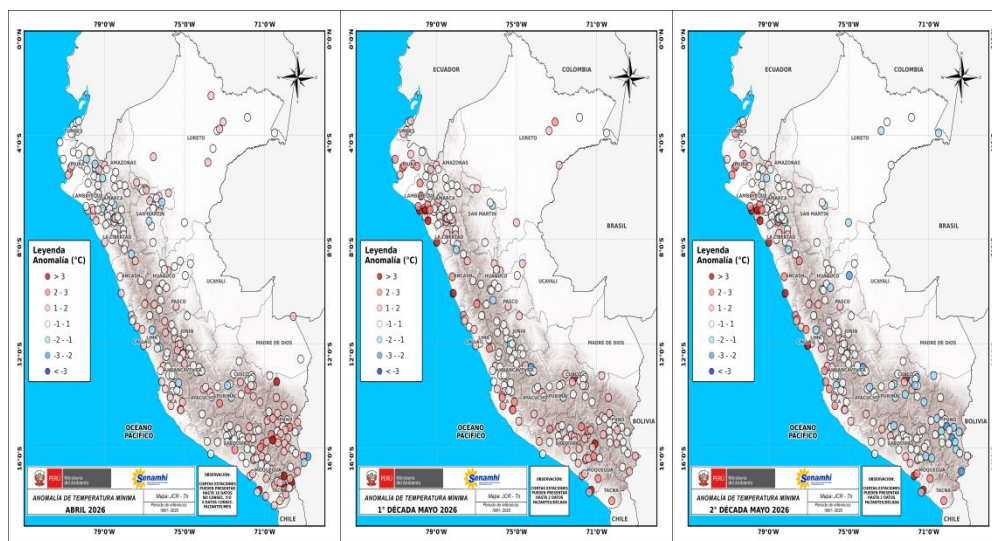


Figura 17. Anomalía de temperatura mínima ($^{\circ}\text{C}$) en abril 2026 (a), del 1 al 10 de mayo 2026 (b) y del 11 al 20 de mayo 2026 (c). Climatología 1991-2020. Fuente y Procesamiento: SENAMHI.



PERÚ

Ministerio
del Ambiente

Servicio Nacional de
Meteorología e Hidrología
del Perú - SENAMHI

SUBDIRECCION DE
PREDICCION CLIMATICA



*"Decenio de la Igualdad de Oportunidades para Mujeres y Hombres"
"Año de la Esperanza y el Fortalecimiento de la Democracia"*

Análisis y redacción:

Javier Chiong, Grinia Ávalos, Dora Marín, Nelson Quispe.

Próxima actualización: 21 de junio de 2026

Se invita a acceder a los siguientes sitios del portal institucional:

Avisos Meteorológicos

<https://www.senamhi.gob.pe/?p=aviso-meteorologico>

Pronósticos climáticos de lluvias, temperaturas máximas y mínima del aire

<https://www.senamhi.gob.pe/?p=pronostico-climatico>

Comunicados ENFEN sobre las condiciones EL NIÑO/LA NIÑA

<https://www.senamhi.gob.pe/?p=fenomeno%2Del%2Dnino>

Boletines informativos

<https://www.senamhi.gob.pe/?p=boletines>

Boletines de sequías

<https://www.senamhi.gob.pe/?p=sequias>

© 2026 SENAMHI-PERÚ Jr. Cahuide 758 Jesús María – Lima; Teléfono: 6-141414 clima@senamhi.gob.pe,
pronosticador@senamhi.gob.pe | www.senamhi.gob.pe

Pronóstico del Tiempo: 51 1 - 6141407 anexo 447

Predicción Climática: 51 1 - 6141414 anexo 475

Lima – Perú